

## جذب تشدیدی و اتلاف امواج هیدرومغناطیسی در تاج خورشید

سعدهاله نصیری قیداری<sup>۱</sup> و لیلا یوسفی<sup>۲</sup>

۱. گروه فیزیک دانشگاه زنجان

۲. مرکز تحصیلات تكمیلی در علوم پایه زنجان

پست الکترونیکی: nasiri@iasbs.ac.ir

(دریافت مقاله: ۱۲/۳/۸۳؛ دریافت نسخهنهایی: ۲۲/۵/۸۴)

### چکیده

گرمایش تاج خورشید از حدود ۶۰ سال پیش مورد توجه منجمن و خورشیدشناسان بوده است. یکی از روش‌های ارائه شده در این زمینه جذب تشدیدی امواج آلفن در حلقه‌های تاج است. بر این اساس یک لوله شار مغناطیسی با پروفیل چگالی غیریکنواخت که باعث پیوستگی سرعت آلفن در امتداد شعاع لوله می‌شود، در نظر گرفته شده است. حل این مسئله بدون در نظر گرفتن عوامل اتلافی، منجر به یک معادله موج برای مؤلفه اختلالی میدان مغناطیسی در راستای محور لوله می‌شود. مؤلفه‌های دیگر میدان هم بر حسب این مؤلفه به دست می‌آیند. در غیاب نیروهای اتلافی معادلات فوق در محلی از لوله که فرکانسی موج آلفن با یکی از ویژه فرکانسی‌های طبیعی لوله برابر می‌شود، تکین هستند. این معادلات به روش عددی حل شده‌اند. با اعمال اتلافهای وشکسانی و مقاومتی آهنگ اتلاف و چگالی انرژی به دست آمدند. رفتار مؤلفه‌های میدان سرعت و میدان مغناطیسی نشان می‌دهند که قسمت عمده تغییرات این میدانها در یک لایه بسیار نازک در اطراف تکینگی که به لایه تشدیدی معروف است، اتفاق می‌افتد و آهنگ اتلاف هم در آنجا زیاد است. این تتابع با مشاهدات به دست آمده از سفینه *TRACE* در مورد شراره (BD ۲۰۰۰) سازگاراند.

**واژه‌های کلیدی:** تاج خورشید، مغناطوهیدرودینامیک، جذب تشدیدی، امواج آلفن

### ۱. مقدمه

*MHD* را در یک پلاسمای غیریکنواخت از طریق حل معادلات ایده‌آل یعنی بدون اتلاف محاسبه کردند. یانسن (Ionson) [۳] برای اولین بار جذب تشدیدی امواج آلفن در نقاط غیرهمگن تاج را که در آن امواج به طور سطحی متشر می‌شوند به عنوان مکانیزم گرمایش تاج معرفی کرد. بعد از یانسن، جذب تشدیدی امواج *MHD* و میرایی این امواج به طور گسترده بررسی شده است. هولوگ (Hollweg) [۴] نتایج یانسن را تایید کرد و نشان داد که شار انرژی حاصل می‌تواند از عهده گرمایش تاج برآید. ونتزل (Wentzel) [۵, ۶] انتشار و اتلاف امواج هیدرومغناطیسی را برای شرایط فیزیکی مختلف در هندسه استوانه‌ای و دکارتی و با سرعتهای آلفن گستته در

از زمان کشف تاج خورشید و گرمایش غیر متعارف آن نظریه‌های مختلفی برای علت این گرمایش پیشنهاد شده‌اند. لکن هنوز نظریه جامعی که بتواند شواهد رصدی را توجیه کند و مقبولیت عام یابد ارائه نگردد. نظریه‌های اولیه بر اساس میرایی امواج اکوستیکی بنا شدند [۱]. از آنجایی که شار انرژی این امواج برای گرمایش تاج ناکافی است، این نظریه گسترش نیافت. در نظریه‌های بعدی امواج *MHD* را مسئول گرمایش تاج قلمداد کردند. به نظر می‌رسد میرایی وشکسانی و مقاومتی این امواج می‌تواند از عهده گرمایش تاج برآید. هاسچاوا (Hasejava) و چن (Chen) [۲] گرمایش امواج

[۱۱] معادلات  $MHD$  مستقل از زمان و خطی شده را در یک پلاسما با اتلاف مقاومتی و کاملاً تراکم پذیر حل کردند و نشان دادند که اتلاف در یک لایه نازک تشیدی با آهنگ گرماش زیاد اتفاق می‌افتد. آفمن، داویلا، اشتاینلفسن [۱۲] اثرات اتلاف و شکسانی را بررسی کرده و نشان دادند که گرمایش و شکسانی و مقاومتی در یک لایه باریک در حوالی محل تکینگی ایده‌آل اتفاق می‌افتد و در آنجا گرادیانهای سرعت و میدان مغناطیسی شدیداً تغییر می‌کنند. آنها نشان دادند که اتلاف و شکسانی برشی به اندازه اتلاف مقاومتی اهمیت دارد. کرمی، نصیری و ثبوتی [۱۳] با در نظر گرفتن یک لوله شار با سرعت آلفن گستته در سطح، انتشار امواج  $MHD$  را در حلقه‌های تاج بررسی کردند. آنها این کار را با روش مشابه به روشنی که در مورد انتشار سیگنانهای نوری در فیبرهای نوری به کار می‌رود، انجام دادند و با استفاده از یک رابطه پاشندگی، وجوده طبیعی لوله شار را محاسبه کردند. در این روش اتلاف مقاومتی و شکسانی به صورت یک اختلال در مسئله وارد می‌شود و از آنجا آهنگ گرمایش محاسبه می‌شود. آنها چگالی را به صورت یک تابع پله‌ای که در سطح لوله گستته‌گی دارد فرض کردند. در این مقاله با استفاده از روش کرمی، نصیری و ثبوتی و با وارد کردن یک پروفیل غیریکنواخت چگالی که منجر به پیوستگی در سرعت آلفن می‌شود، مسئله گرمایش تاج بررسی می‌شود. بدین ترتیب مسئله کاملاً تغییر می‌کند. معادلات تکین می‌شوند و از حل این معادلات دیده می‌شود که میدان مغناطیسی و سرعت در یک لایه بسیار نازک در اطراف تکینگی به طور قابل ملاحظه‌ای تغییر می‌کند. همچنین آهنگ اتلاف نیز در همین لایه شدیداً افزایش می‌یابد. این معادلات به طور عددی و بر مبنای روشی که برای حل معادلات تکین با شرایط مرزی به کار می‌رود، حل می‌شوند.

مقاله به پنج بخش تقسیم شده است. در بخش اول معادلات حاکم بر شاره مغناطیسی معرفی می‌شود. در بخش دوم نقاط تکینگی ایده‌آل محاسبه می‌شود. در بخش سوم با حل عددی معادلات  $MHD$  رفتار مولفه‌های میدان به دست می‌آید. در بخش چهارم با در نظر گرفتن اتلافهای مقاومتی و شکسانی

مرزها، مطالعه و بررسی کرد. او فرض کرد چگالی، فشار و میدان مغناطیسی یکنواخت، اما در دو طرف صفحه یا داخل و خارج لوله متفاوت باشند و نشان داد هنگامی که سرعت آلفن در مرزها تغییر می‌کند امواج سطحی هیدرومغناطیسی می‌توانند در طول مرزها منتشر شده و انرژی را با خود حمل و گرما ایجاد کنند. او محاسبه کرد که در تقریب پلاسماهای با بتای کوچک ( $\beta$  نسبت فشار حرارتی به فشار مغناطیسی است) این امواج، امواج آلفن برشی هستند و در تقریب لوله شار نازک، امواج حجمی می‌توانند با امواج سطحی جفت شوند، که منجر به اتلاف امواج سطحی و گرمایش در سطح می‌شود. ادوبین (Edwin) و رابرت (Robert) [۷] رابطه پاشندگی را برای امواج مختلفی که در یک شار استوانه‌ای مغناطیسی تحت شرایط تاجی و شیدسپهری منتشر می‌شوند، به دست آوردند. اشتاینلفسن (Steinolfson) [۸] اثر و شکسانی و مقاومت الکتریکی را بر روی امواج سطحی با سرعت آلفن گستته بررسی کرد. وی یک لایه متوازی السطوح شار در نظر گرفت و با فرض تراکم ناپذیری به این نتیجه رسید که سرعت واپاشی و شکسانی از لحاظ مقدار، تقریباً دو برابر سریعتر از سرعت واپاشی مقاومتی است. داویلا (Davila) [۹] اتلاف مقاومتی را در یک پلاسمای با بتای کوچک و کاملاً تراکم پذیر با استفاده از تکنیک تبدیل فوریه و بسط مجانبی در نقطه تکینگی حل کرد. او فرض کرد که اتلاف فقط در یک لایه نازک در اطراف محلی که در آنجا معادلات بدون در نظر گرفتن اتلاف دارای تکینگی هستند، مهم باشد. وی جواب معادلات ایده‌آل در منطقه‌ای دور از تکینگی را به دست آورد. سپس این جواب را با یک جواب اتلافی برای منطقه درونی (نزدیک تکینگی) مربوط کرد و آهنگ گرمایش را برای یک حلقه منفرد به وسیله انتگرالگیری شار پوینتینگ روی سطح لایه اتلافی به دست آورد. گوسنزن (Goossens) و هولوگ و ساکورای (Sakurai) [۱۰] با استفاده از یک روش تحلیلی از حل معادلات  $MHD$  ایده‌آل دو معادله دیفرانسیل برای جابه‌جایی و فشار استخراج کردند. به کمک بسط ضرایب معادلات دیفرانسیل در نزدیکی نقطه تکینگی معادلات را حل کردند. آفمن (Ofman)، داویلا، اشتاینلفسن

به طوری که،  $k_z = \frac{l\pi}{L}$  و  $m = 0, 1, 2, \dots$  شرط دوره‌ای بودن نوسانات را در جهات  $z$  و  $\varphi$  تامین می‌کنند. با توجه به فرضهای فوق معادله (۳) پس از ساده‌سازی به صورت زیر در می‌آید:

$$\frac{K^*}{r} \frac{d}{dr} \left( \frac{r}{K^*} \frac{d\delta B_z}{dr} \right) - \left( \frac{m^2}{r} - K^* \right) \delta B_z = 0. \quad (7)$$

که در آن

$$K^* = \frac{\omega^*}{v_A^*} - k_z^* \quad (8)$$

به دلیل حذف اثرات گرانش تابعیت چگالی در حالت تعادل به صورت دلخواه خواهد بود. لذا چگالی به صورت زیر در نظر گرفته می‌شود [۱۲]

$$\begin{cases} \rho = \rho_r + (1 - \rho_r) \exp(-(r^*)) & r < 1 \\ \rho = \rho_e & r > 1 \end{cases} \quad \rho_r = 0.1 \quad (9)$$

که در آن  $\rho_r$  نسبت چگالی بیرون ( $\rho_e$ )، به ماکزیمم چگالی درون لوله است.  $K^*$  در محلی که فرکانس موج آلفن با یکی از ویژه فرکانس‌های طبیعی لوله برابر شود، صفر شده و معادله (۷) تکین می‌شود. این فرکانس، فرکانس سرتاسری  $\omega_g$  نامیده می‌شود.

### ۳. به دست آوردن نقاط تکینگی

کرمی، نصیری و ثبوتی [۱۳] وجوده طبیعی یک لوله شار را با همین ویژگی ولی با سرعت آلفن گستته در سطح جانبی لوله به دست آورده‌اند. آنها چگالی را به صورت یک تابع پله‌ای فرض کرده‌اند که مقدار آن به ترتیب  $\rho_i, \rho_e$  برای بیرون و درون لوله می‌باشد. با استفاده از این ویژه فرکانسها محل نقاط تکینگی ایده‌آل یعنی نقاطی که معادله (۸) را در غیاب اتلاف صفر می‌کنند، به دست می‌آید. برای این کار معادله (۷) را در شکل بی‌بعد به صورت زیر می‌نویسیم

$$\frac{d^* \delta B_Z}{dx^*} + \frac{1}{x} \frac{d\delta B_z}{dx} - \frac{d\rho}{dx} \left( \frac{\omega^* v_A^*}{\omega^* - k_z^* v_A^*} \right) \frac{d\delta B_z}{dx} - \left( \frac{m^2}{x^*} - k_z^* - \frac{\omega^*}{v_A^*} \right) \delta B_Z = 0. \quad (10)$$

آهنگ اتلاف در لوله بررسی می‌شود. در بخش پنجم نتایج مورد بحث قرار می‌گیرد.

## ۲. معادلات اصلی

معادلات MHD خطی شده برای یک پلاسمای در شرایط تاجی یعنی در غیاب فشار حرارتی و گرانش عبارتند از:

$$\frac{\partial \delta \mathbf{v}}{\partial t} = \frac{1}{4\pi\rho} \{ (\nabla \times \delta \mathbf{B}) \times \mathbf{B} + (\nabla \times \mathbf{B}) \times \delta \mathbf{B} \} + \frac{\eta}{\rho} \nabla^* \delta \mathbf{v} \quad (1)$$

$$\frac{\partial \delta \mathbf{B}}{\partial t} = \nabla \times (\delta \mathbf{v} \times \mathbf{B}) + \frac{c^*}{4\pi\sigma} \nabla^* \delta \mathbf{B} \quad (2)$$

که در آن  $\delta \mathbf{B}$  و  $\delta \mathbf{v}$  اختلالات اویلری سرعت و میدان مغناطیسی و  $\eta, \sigma, \rho$  و  $c$  به ترتیب چگالی جرمی، ضریب رسانش الکتریکی، ضریب وشكسانی و سرعت نور هستند. در تقریب اتلاف وشكسانی و مقاومتی ضعیف می‌توان عبارتهای اتلافی  $(\frac{c^*}{4\pi\sigma} \nabla^* \delta \mathbf{B}, \frac{\eta}{\rho} \nabla^* \delta \mathbf{v})$  را به صورت اختلال در نظر گرفت [۱۳]. لذا در تقریب اختلال مرتبه صفر با جایگذاری عبارت  $\frac{\partial \delta \mathbf{v}}{\partial t}$  از معادله (۱) در معادله‌ای که از مشتق زمانی معادله (۲) نتیجه می‌شود، معادلات زیر به دست می‌آیند:

$$[\nabla_\perp^* - (k_z^* - \frac{\omega^*}{v_A^*})] (\mathbf{B} \delta B_z) - \nabla_\perp \ln [\mathbf{B} (k_z^* - \frac{\omega^*}{v_A^*})] \cdot \nabla_\perp (\mathbf{B} \delta B_z) = 0. \quad (3)$$

$$\mathbf{B} \delta \mathbf{B}_\perp = - \frac{i k_z}{(k_z^* - \frac{\omega^*}{v_A^*})} \nabla_\perp (\mathbf{B} \delta B_z) \quad (4)$$

$$\rho \delta v_z = \frac{1}{4\pi} \frac{k_z v_A^*}{(k_z^* v_A^* - \omega^*)} \nabla_\perp \ln \mathbf{B} \cdot \nabla_\perp (\mathbf{B} \delta B_z) \quad (5)$$

$$\rho \delta v_\perp = \frac{i}{4\pi} \frac{\omega}{(k_z^* v_A^* - \omega^*)} \nabla_\perp (\mathbf{B} \delta B_z) \quad (6)$$

که در آن  $v_A$  سرعت آلفن و  $\perp$  جهت عمود بر لوله است. شعاع لوله شار واحد و طول آن  $L$  فرض می‌شود. در حالت تعادل میدان مغناطیسی در داخل و خارج لوله یکنواخت و در راستای محور لوله انتخاب می‌شود. وابستگی به زمان و  $z$  و  $\varphi$  برای هر یک از مؤلفه‌های میدانهای سرعت و مغناطیسی به صورت  $e^{i(k_z z - \omega t + m\varphi)}$  در نظر گرفته می‌شود

جدول ۱. مقادیر  $\omega_{nml}$  و  $r_s^{nml}$  برای وجود کینکی ( $m=1$ ) و لوله‌ای به شعاع  $10^3 km$ ، طول  $10^5 km$  و لوله‌ای به شعاع  $10^4 gr cm^{-3}$ ، طول  $10^4 G$ ،  $\rho_i = 2 \times 10^{-14} g cm^{-3}$  به ترتیب در واحد سرعت آلفن درونی و شعاع لوله هستند.

	$\omega_{nml}$		$x_s^{nml}$
۱	$0/0434$	-	$0/9314$
۴۰	$1/4829$	-	$0/7829$
۴۱	$1/5154$	$4/0473$	$0/7792$
۷۴	$2/5646$	$4/7377$	$0/6854$
۷۵	$2/5957$	$4/7858$	$0/6830$
۱۰۰	$3/3695$	$5/3079$	$0/6294$
	n=۱	n=۲	n=۳
		n=۲	n=۳

که در آن

روش شوتینگ [۱۴] است استفاده می‌شود. برای به کار بردن

این روش باید معادله (۱۰) به شکل زیر نوشته شود:

$$y'(t) = \frac{M(t)}{(t-a)} \cdot y(t) + g(t, y(t)) \quad t \in (a, b] \quad (12)$$

که در آن  $M(t)$  یک ماتریس  $n \times n$  است و  $n$  مرتبه معادله را مشخص می‌کند. همچنین معادله فقط یک تکینگی از نوع اول و در  $t=a$  دارد.تابع  $g$  یک تابع با تغییرات بسیار آرام است. حد راست بازه‌ای است که معادله دیفرانسیل باید در آن حل شود و در مسئله ما شعاع لوله خواهد بود. علت باز بودن حد چپ بازه به این دلیل است که هیچ وقت روی نقطه تکین قرار نخواهیم گرفت و حتی الامکان به آن نزدیک خواهیم شد. بدین منظور تغییر متغیر زیر را بروی معادله (۱۰) به کار می‌بریم. میدان مغناطیسی واحد فرض شده است.

$$x \rightarrow X, \quad X = v_A = (\rho)^{-\frac{1}{2}} \quad (13)$$

در این صورت داریم:

$$\rho = \rho_r + (1 - \rho_r) \exp(-(x^*)) \Rightarrow x = [\ln(\frac{\rho_r - 1}{\rho_r - 1/X^*})]^{1/2}$$

$$\frac{d\rho}{dx} = \frac{1}{2} [\ln(\frac{\rho_r - 1}{\rho_r - 1/X^*})]^{1/2} (\rho_r - 1/X^*), \quad (\text{الف})$$

$$\frac{d}{dx} = \frac{1}{2} [\ln(\frac{\rho_r - 1}{\rho_r - 1/X^*})]^{1/2} X (1 - \rho_r X^*) \frac{d}{dX}, \quad (\text{ب})$$

$$v_A^2 = \frac{v_A^2}{v_{A0}^2} = \frac{\rho_0}{\rho} = \frac{1}{\rho}$$

$$x = r, \quad \omega = \frac{\omega}{\omega_A},$$

و  $v_{A0}$  سرعت آلفن و چگالی در مرکز لوله و  $\omega_A$  فرکانس آلفن است. بدین ترتیب محل تکینگی ( $x_s$ ) از رابطه زیر به دست می‌آید:

$$x_s = [\ln(\frac{1 - \rho_r}{\frac{k_z^2}{\omega_g^2} - \rho_r})]^{1/2} \quad (11)$$

نتایج این محاسبات برای وجود کینکی ( $m=1$ ) در جدول ۱ آورده شده است. ویژه فرکانسها با سه عدد موجی  $n$  در جهت شعاع  $l$  در جهت محور و  $m$  در جهت سمتی لوله مشخص می‌شوند [۱۳]. محل نقاط تکینگی با افزایش  $n$  زیاد و با افزایش  $l$  کم می‌شود.

#### ۴. حل معادلات به روش عددی

برای تعیین رفتار مؤلفه  $\delta B_z$  و بقیه مؤلفه‌های میدانهای سرعت و مغناطیسی، بایستی معادله (۱۰) حل شود. این معادله یک معادله دیفرانسیل تکین مرتبه دوم با شرایط مرزی است. برای حل این معادله از یک روش عددی که در واقع اصلاح یافته

$$\delta B_r = i \frac{\gamma k_z [\ln(\frac{\rho_r - 1}{\rho_r - 1/X^r})](-\rho_r X^r)X}{K^r}, \quad (18)$$

$$\delta B_\phi = -\frac{mk_z}{K^r [\ln(\frac{\rho_r - 1}{\rho_r - 1/X^r})]^{1/4}} \delta B_z, \quad (19)$$

$$\delta v_r = i \frac{-\omega [\ln(\frac{\rho_r - 1}{\rho_r - 1/X^r})] X (-\rho_r X^r)}{\gamma K^r \pi} \frac{d \delta B_z}{dX}, \quad (20)$$

$$\delta v_\phi = \frac{m\omega}{4\pi [\ln(\frac{\rho_r - 1}{\rho_r - 1/X^r})]^{1/4} K^r} \delta B_z, \quad (21)$$

$$\delta v_z = 0, \quad (22)$$

که در آن

$$K^r = \frac{\omega^r}{X^r} - k_z^r. \quad (23)$$

با حل عددی معادله (۱۵)، مؤلفه  $\delta B_z$  به دست می‌آید و سپس با استفاده از معادلات (۲۰) تا (۲۴) بقیه مؤلفه‌های میدان‌های سرعت و مغناطیسی هم محاسبه می‌شوند. نتایج حاصل از حل عددی معادله (۱۰) به ازای ( $\omega_{1,1,1} = 3/2695$ ) در محل تکینگی ایده‌آل ( $x_s^{1,1,1} = 0.0224$ ) در شکل ۱ آمده است. دیده می‌شود که به جز در اطراف نقطه تکین یا لایه تشدیدی تغییرات  $\delta B_z$  آرام است. شکل ۲ تغییرات مؤلفه  $\phi$  میدان مغناطیسی را نشان می‌دهد. در شکل ۳ مؤلفه‌های میدان سرعت و میدان مغناطیسی با هم نشان داده شده است. با توجه به شکل، کاملاً دیده می‌شود که تغییرات در یک لایه نازک روی می‌دهد. به همین دلیل، وجود عوامل اتلافی در این مقیاس کوچک اهمیت پیدا می‌کند و اتلاف در این لایه به طور قابل توجهی گرما ایجاد می‌کند. شکلهای ۲ و ۴ در مقیاس تغییرات کمیتهای موردنظر در حل عددی رسم شده‌اند. در حالی که رفتار آنها در حوالی نقطه تکینگی در مقیاس کوچک مثل شکل ۳ می‌باشد.

## ۵. بررسی اتلافهای وشکسانی و مقاومتی

اتلافهای وشکسانی و مقاومتی کوچک در پلاسما سبب می‌شوند که میدان مغناطیسی و میدان سرعت به صورت نمایی

$$\frac{d^r}{dx^r} = \gamma [\ln(\frac{\rho_r - 1}{\rho_r - 1/X^r})]^{1/4} X (-\rho_r X^r) \quad (24)$$

$$\frac{d}{dX} (\gamma + \gamma [\ln(\frac{\rho_r - 1}{\rho_r - 1/X^r})](-2\rho_r X^r)) \frac{d}{dX} +$$

$$([\ln(\frac{\rho_r - 1}{\rho_r - 1/X^r})]^{1/4} X (-\rho_r X^r))^2 \frac{d^r}{dX^r}$$

در نتیجه معادله (۱۰) به شکل زیر در می‌آید:

$$\frac{d^r \delta B_z}{dX^r} + P(X) \frac{d \delta B_z}{dX} + Q(X) \delta B_z = 0 \quad (15)$$

که در آن

$$P(X) = \frac{\gamma}{X(-\rho_r X^r)} \left[ \frac{\gamma}{[\ln(\frac{\rho_r - 1}{\rho_r - 1/X^r})]} + \right.$$

$$\left. \frac{\gamma \omega^r}{k_z^r} \right] - \frac{X(X - \frac{\omega}{k_z})(X + \frac{\omega}{k_z})}{(1 - 2\rho_r X^r)},$$

$$Q(X) = -\frac{k_z^r + \frac{m^r}{x^r} - \frac{\omega^r}{X^r}}{([\ln(\frac{\rho_r - 1}{\rho_r - 1/X^r})]^{1/4} X (-\rho_r X^r))^2}.$$

محل تکینگی را با  $X_s$  نشان می‌دهیم که  $X_s = \frac{\omega}{k_z}$ . با

توجه به معادله (۱۲) می‌توان معادله (۱۵) را در بازه  $[X_s, 1/5234]$  حل کرد. در این صورت برای یافتن رفتار  $\delta B_z$  در طرف چپ نقطه تکین، می‌توانیم بار دیگر تغییر متغیر زیر را به کار ببریم. البته با توجه به اینکه معادله (۱۴-۴) نسبت به این تغییر متغیر زوج است.

$$X := -X \quad (16)$$

بنابراین به دست می‌آوریم:

$$\frac{d^r \delta B_z}{dX^r} - P(-X) \frac{d \delta B_z}{dX} + Q(-X) \delta B_z = 0. \quad (17)$$

که در آن

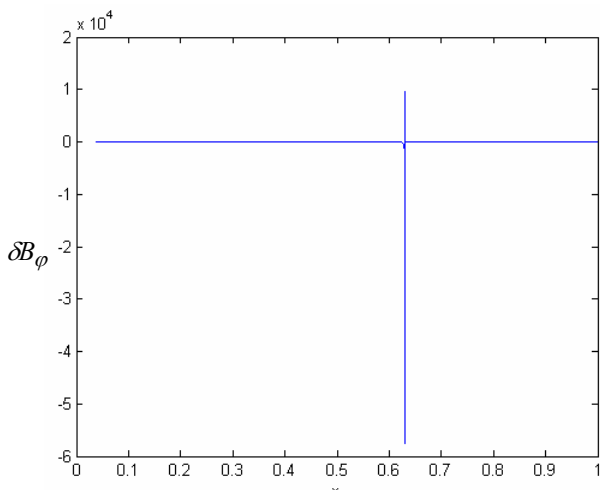
$$P(-X) = P(X)$$

$$Q((-X)) = Q(X)$$

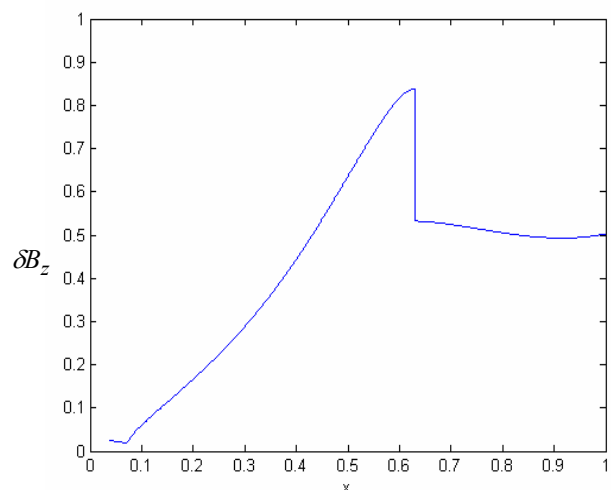
در این حالت می‌توان معادله (۱۷) را در بازه  $[1, -X_{\text{sing}}]$  حل کرد.

با توجه به معادلات (۴) و (۵) و (۶) با اعمال تغییر

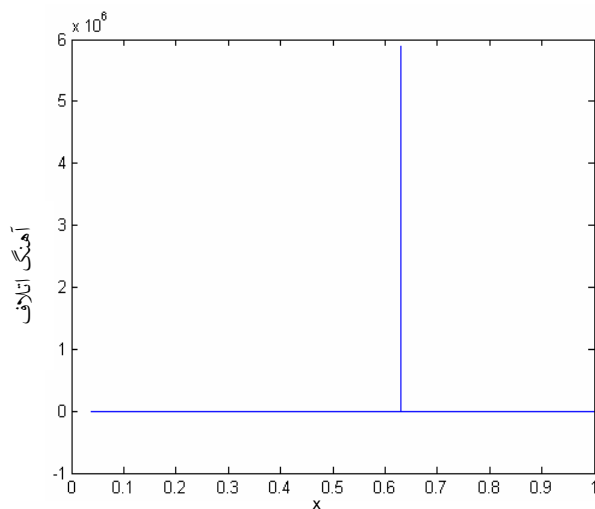
متغیر ذکر شده به معادلات زیر می‌رسیم:



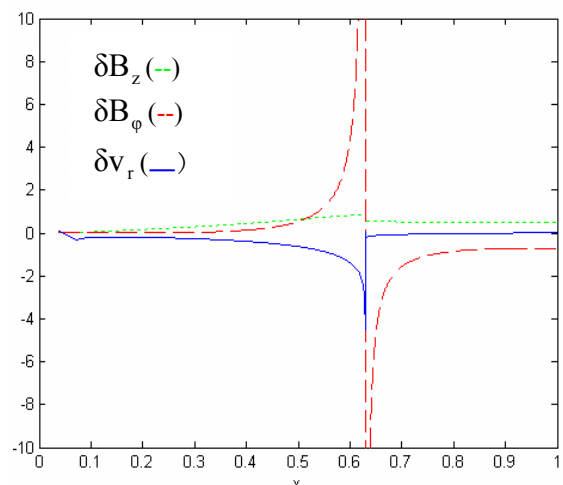
شکل ۲. رفتار مؤلفه  $\varphi$  میدان مغناطیسی ( $\delta B_\varphi$ ) بر حسب فاصله شعاعی  $x$  در فرکانس سرتاسری  $\omega_{\text{فرکانس سرتاسری}} = ۳/۲۶۹۵$  و  $x_S^{۱,۱,۱,۰} = ۰/۶۳$ .



شکل ۱. رفتار مؤلفه  $z$  میدان مغناطیسی ( $\delta B_z$ ) بر حسب فاصله شعاعی  $x$  در فرکانس سرتاسری  $\omega_{\text{فرکانس سرتاسری}} = ۳/۲۶۹۵$  و  $x_S^{۱,۱,۱,۰} = ۰/۶۳$ .



شکل ۴. آهنگ اتلاف بر حسب فاصله شعاعی  $x$  با  $\omega_{\text{فرکانس سرتاسری}} = ۳/۲۶۹۵$  و  $x_S^{۱,۱,۱,۰} = ۰/۶۳$ .



شکل ۳. رفتار مؤلفه های میدان سرعت و میدان مغناطیسی  $\delta B_z, \delta B_\varphi, \delta v_r$  با  $\omega_{\text{فرکانس سرتاسری}} = ۳/۲۶۹۵$  و  $x_S^{۱,۱,۱,۰} = ۰/۶۳$ .

با زمان واهش تغییر کنند یعنی

$$\delta \mathbf{B}^{\text{dissipative}} = \delta \mathbf{B}(r) e^{-(i\omega + \alpha)t}, \quad (22)$$

$$\delta \mathbf{v}^{\text{dissipative}} = \delta \mathbf{v}(r) e^{-(i\omega + \alpha)t}$$

که در آن  $\delta B(r)$  و  $\delta v(r)$  جوابهای معادلات بدون اتلاف هستند. در این صورت کمیت  $\alpha$  یعنی آهنگ اتلاف، با جایگذاری معادله (۱۰) در معادلات (۱) و (۲) و حذف کردن جملات غیراتلافی از طرفین به صورت زیر در می آید:

$$\alpha = \frac{A}{\eta} \left[ \frac{\rho}{K} \frac{d \ln \rho}{dr} \frac{d \delta B_z}{dr} - \frac{1}{[\ln(\frac{\rho_r - 1}{\rho_r - 1/X})]^{1/4}} k_z \frac{d \ln r}{dr} \frac{d \delta B_z}{dr} \right] \quad (23)$$

$$A = \frac{1}{S} + \frac{1}{R} \quad (24)$$

که در آن  $S$  و  $R$  به ترتیب اعداد لاندکویست و رینولدز هستند.

می رویم. در شکل ۵ آهنگ اتلاف را در لایه تشدیدی مشاهده می کنیم. از آنجا که  $\delta \mathbf{B} = (\sigma/4\pi) \nabla \times \delta \mathbf{J}$  چگالی جریان تولید شده توسط  $\delta \mathbf{B}$  می باشد، برای میدان میرای داده شده توسط معادله (۱۰)، آهنگ گرمایش مقاومتی و وشکسانی به ترتیب به صورت زیر خواهد بود:

$$\frac{d\delta Q_{ohmic}}{dt} = \frac{1}{\sigma} \int e^{-\alpha t} |\delta \mathbf{j}(r)|^2 d^3x \quad (26)$$

$$\frac{d\delta Q_{visc}}{dt} = \eta \int e^{-\alpha t} |\delta \mathbf{v} \cdot \nabla \delta \mathbf{v}| d^3x \quad (27)$$

گرمای کل  $\delta Q$  را با انتگرالگیری از  $\frac{d(\delta Q_{ohmic} + \delta Q_{visc})}{dt}$  به

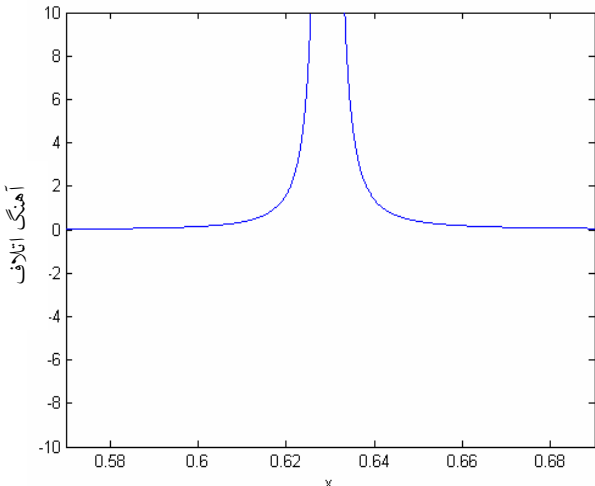
دست می آوریم. این گرما با انرژی کل (جنبشی و مغناطیسی) اولیه محصور شده در موج برابر خواهد بود. از این رو داریم:

$$\delta Q = \int \left( \frac{1}{\sigma} |\delta \mathbf{j}(r)|^2 + \frac{\eta}{2} |\delta \mathbf{v} \cdot \nabla \delta \mathbf{v}| \right) d^3x \int_0^\infty e^{-\alpha t} dt, \quad (13)$$

انرژی فوق در لایه تشدیدی پس از چند نوسان کاملاً به گرما تبدیل می شود و موجب گرمایش لوله می شود. به عنوان مثال برای  $\omega_s = ۲/۳۶۹۵$  در مقیاس فرکانس زاویه‌ای آلفن پریود نوسانات در حدود ۵ دقیقه می باشد و مقدار به دست آمده برای زمان میرایی را در حدود ۱۵ دقیقه می دهد. یعنی پس از حدود ۳ نوسان موج ایجاد شده میرا شده و به گرما تبدیل می شود. این نتایج با آنچه که سفینه TRACE مشاهده کرده است سازگار است [۱۵].

## ۶. بحث و نتیجه‌گیری

در یک لوله استوانه‌ای مغناطیسی در شرایط تاج خورشیدی با پروفیل چگالی غیر یکنواخت معادلات حاکم بر میدانهای مغناطیسی و سرعت تکین هستند. تغییرات میدانها در داخل لایه تشدید زیاد و در خارج از این لایه ناچیز هستند. از این رو عمدۀ گرمایش در داخل لوله و در لایه تشدید صورت می گیرد. برای اتلافهای مقاومتی و وشکسانی، آهنگ اتلاف و همچنین چگالی انرژی اتلافی محاسبه شده‌اند. آهنگ اتلاف در مرز لایه تشدید شروع به افزایش می کند و در همسایگی بسیار نزدیک به نقطه تکین شدیداً زیاد می شود. این کمیت در حوالی نقطه تکین تقریباً از مرتبه یک است و با توجه به زمان یک نوسان که در



شکل ۵. آهنگ اتلاف بر حسب فاصله شعاعی  $x$  با  $\omega_s = ۲/۳۶۹۵$  و  $\alpha = ۰/۶۳$  در لایه تشدید.

با در نظر گرفتن پروفیل چگالی معادله (۹) و اعمال تغییر متغیر ذکر شده مقدار  $\alpha$  از رابطه زیر را به دست می آید:

$$\alpha = \frac{A}{2} \left[ \frac{-8\omega^2 [\ln(\frac{\rho_r - 1}{\rho_r - 1/X^2})]^{3/2} (\rho_r - \frac{1}{X^2})}{2K^2 \pi K^2 \delta B_z} \frac{d\delta B_z}{dX} + \frac{\omega^2 (1/4 [\ln(\frac{\rho_r - 1}{\rho_r - 1/X^2})]^{1/2} - 1/6 [\ln(\frac{\rho_r - 1}{\rho_r - 1/X^2})]^{3/2}) (\rho_r - \frac{1}{X^2})}{K^2} - \frac{32\omega^2 [\ln(\frac{\rho_r - 1}{\rho_r - 1/X^2})]^{3/2} (\rho_r - \frac{1}{X^2})^2}{K^4} - \frac{4\omega^2 [\ln(\frac{\rho_r - 1}{\rho_r - 1/X^2})]^{1/2} X (\rho_r - \frac{1}{X^2})}{K^2} + \frac{\omega^2}{K^2} \right]. \quad (25)$$

شکل ۴ آهنگ اتلاف را در فرکانس سرتاسری و برای  $A = 10^{-4}$  نشان می دهد. آهنگ اتلاف در نزدیکی محل تشدید افزایش می یابد و به معنی گرمایش زیاد در اثر جذب تشدیدی در این بخش از لوله است. لازم به ذکر است که چون لایه اتلاف بسیار نازک است بزرگ بودن مقدار  $\alpha$  در این لایه خدشهایی به فرض اولیه ما که عوامل اتلاف را کوچک و به صورت یک اختلال در نظر گرفته‌ایم، وارد نمی کند. زیرا خارج از لایه تشدید این فرض کاملاً درست است و در داخل لایه نیز در روش شوتینگ اصلاح یافته تا حوالی این نقطه جلو

نشود این زمان در حدود چند هزار برابر پریود نوسانات به دست می‌آید که با مشاهدات تفاوت فاحش دارد.

حدود ۵ دقیقه است می‌توان گفت گرمای ایجاد شده در داخل نوله پس از حدود ۳ نوسان به گرما تبدیل می‌شود. این نتایج با آنچه که توسط سفینه TRACE مشاهده شده است سازگار است. در حالی که اگر مکانیزم جذب تشدیدی در نظر گرفته

## مراجع

11. L Ofman, J M Davila and R S Steinolfson, *APJ*, **421** (1994) 360.
12. L Ofman, J M Davila and R S Steinolfson, *APJ*, **444** (1995) 471.
13. K Karami, S Nasiri and Y Sobouti, *A and A*, **396** (2002) 992.
14. O Koch, E Weinmuller, The Convergence of Shooting Methods for Singular Boundary Value Problems, Anum Preprint No. 09/01, Inst. for Appl. Math. and Numer. Anal., Vienna Univ. of Technology, Wien **289** (1995) 305.
15. V M Nakariakov, L Ofman, E E Deluca, B Roberts and J M Davila, *Science*, **285** (1999) 862.
1. W Grossman and J Tataronis, *Z Phys.*, **261** (1973) 217.
2. L Chen and A Hasegava, *Phys. Fluid*, **17** (1974) 1399.
3. J A Ionson, *APJ*, **226** (1978) 650.
4. J V Hollweg, *APJ*, **277** (1984) 392.
5. D G Wentzel, *APJ*, **227** (1979a) 319.
6. D G Wentzel, *A&A*, **76** (1979b) 20.
7. P M Edwin and B Roberts, *Sol. Phys.*, **88** (1983) 179.
8. R S Steinolfson, E R Priest, S. poedts, L. Nocera and M. Goossens, *APJ*, **304** (1986) 562
9. J M Davila, *APJ*, **317** (1987) 514.
10. R Erdelyi, M Goossens and M Ruderman, *Sol. Phys.*, **123** (1995) 161.